

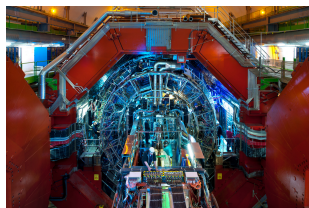
## Hands On Session

# Looking for strange particles in ALICE

Arlette Melo Galindo, Luis Díaz Calvo,  
Sushanta Tripathy, Antonio Ortiz Velásquez



ALICE



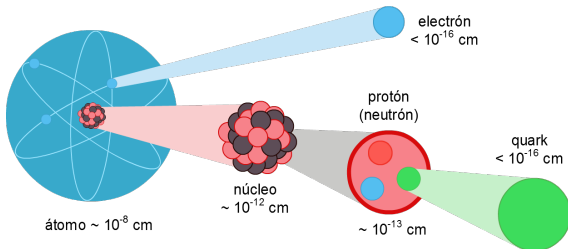
Instituto de  
Ciencias  
Nucleares  
UNAM



INTERNATIONAL  
MASTERCLASSES  
hands on particle physics

# El mundo microscópico

- ① La física de partículas estudia a los bloques fundamentales de la materia.



- ② La unidad de energía son los electron-voltios [eV],

$$1 \text{ eV} \simeq 1.602 \times 10^{-19} \text{ J}.$$



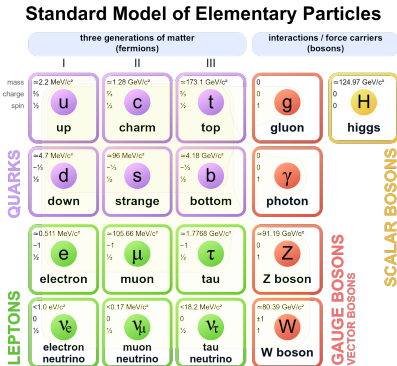
Instituto de  
Ciencias  
Nucleares  
UNAM



INTERNATIONAL  
MASTERCLASSES  
hands on particle physics

# El Modelo Estándar

- ① Conjunto de teorías que describen a las partículas como las conocemos.



Interacción	Partícula mediadora
Fuerte	gluón
Débil	bosones $W^\pm$ y $Z$
Eléctrica	fotón
Gravitacional	gravitón (hipotética)

$\Rightarrow$  hadrones = baryones ( $qqq$ )  
y mesones ( $q\bar{q}$ )

Imagen tomada de <https://cutt.ly/RzWgtih>



Instituto de  
Ciencias  
Nucleares  
UNAM



CERN  
INTERNATIONAL  
MASTERCLASSES  
hands on particle physics

# El mundo microscópico

- ① Una forma de estudiar a las partículas elementales es **haciéndolas chocar**.



La vieja rutina 'físico de partículas bueno/físico de partículas malo'



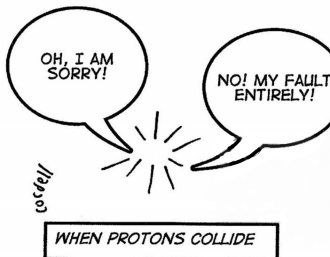
Instituto de  
Ciencias  
Nucleares  
UNAM



INTERNATIONAL  
MASTERCLASSES  
hands on particle physics

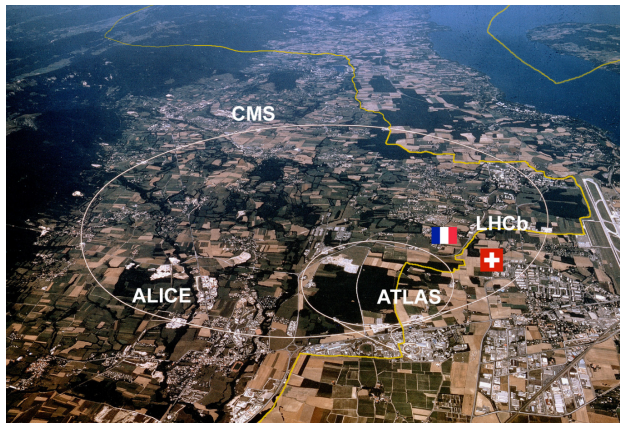
# El mundo microscópico

- ① **La relatividad especial de A. Einstein** nos dice que ningún objeto en el universo puede desplazarse con una velocidad igual o superior a la de la luz  $c \simeq 3 \times 10^8$  m/s.
- ② Por ejemplo, las partículas que colisionan con 7 TeV de energía, alcanzan el 99.999991 % de la velocidad de la luz.



# El Gran Colisionador de Hadrones (LHC)

El LHC, ubicado en la frontera entre Suiza y Francia, es un colisionador de hadrones. Tiene un radio de  $\simeq 27$  km y 4 detectores principales.



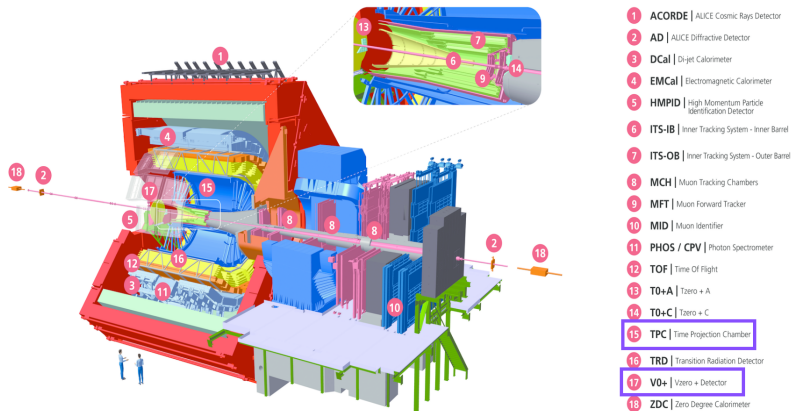
Instituto de  
Ciencias  
Nucleares  
UNAM



INTERNATIONAL  
MASTERCLASSES  
hands on particle physics

# El experimento ALICE

A Large Ion Collider Experiment (ALICE) es uno de los 4 experimentos del LHC. Incluye a más de 1800 científicos y científicas de más de 174 instituciones en 42 países.



# ¿Qué física busca ALICE?

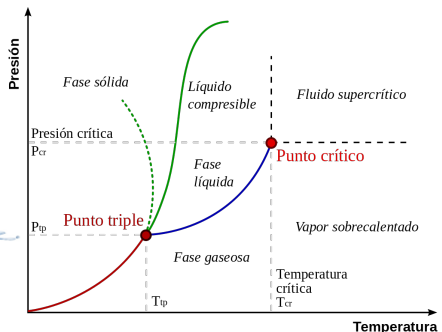
- Estudio de **rayos cósmicos**.
- Estudio de la **Cromodinámica Cuántica** (teoría que describe a la interacción fuerte).
- **Búsqueda del plasma de quarks y gluones (QGP)**.

En esta sesión, estudiaremos un efecto que confirmaría la existencia del QGP: la presencia de partículas extrañas. Para motivar la discusión, recordemos el caso del **diagrama de fases del agua**.



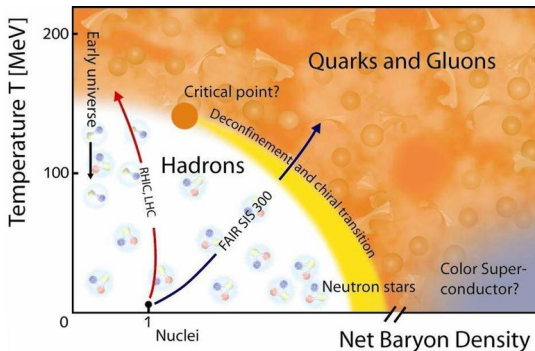
# El plasma de quarks y gluones

- ① El agua presenta 3 fases, dependiendo de sus condiciones de temperatura y presión.



# El plasma de quarks y gluones (QGP)

- Lo mismo pasa con la materia nuclear. Dependiendo de su temperatura y **densidad bariónica**, puede estar confinada (estado hadrónico) o deconfinada (QGP).



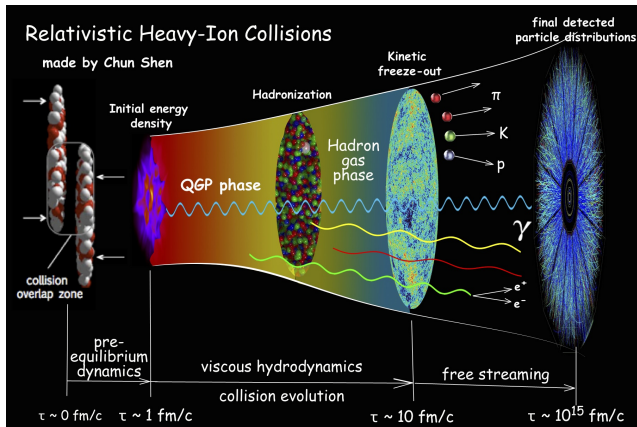
Instituto de  
Ciencias  
Nucleares  
UNAM



INTERNATIONAL  
MASTERCLASSES  
hands on particle physics

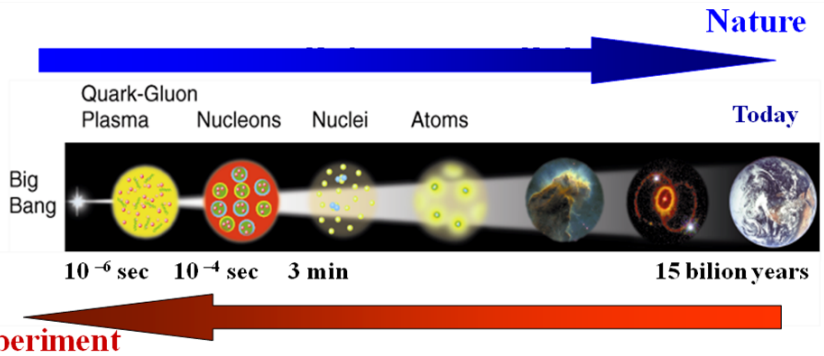
# El plasma de quarks y gluones

- 1 Se cree que se presenta en las primeras etapas una colisión de iones pesados.



# El plasma de quarks y gluones

- 1 Comprender al QGP en su totalidad permitiría entender la etapa temprana del Universo.

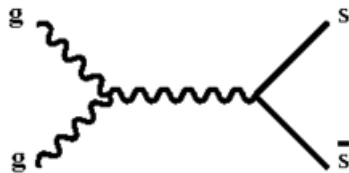


Instituto de  
Ciencias  
Nucleares  
UNAM



# ¿Cómo hallar evidencia de la existencia del QGP?

- ① ¿Cómo encontrar evidencia de la existencia del QGP?
- ② A las temperaturas del QGP ( $\sim 200$  MeV), ocurren **fusiones de gluones**.
- ③ En particular, ocurre la fusión a un **par-antipar de quarks extraños**  $s\bar{s}$ .



# ¿Cómo encontrar evidencia de la existencia del QGP?

- En la etapa de hadronización, se forman las **partículas extrañas**: bariones o mesones con al menos un quark o antiquark extraño. También se conocen como **V0's** a los productos de los decaimientos.
- Algunas partículas extrañas son el mesón  $K_s^0$  y los bariones  $\Lambda$  y  $\bar{\Lambda}$ .



Instituto de  
Ciencias  
Nucleares  
UNAM



INTERNATIONAL  
MASTERCLASSES  
hands on particle physics

# ¿Cómo encontrar evidencia de la existencia del QGP?

- Detectar una gran abundancia de partículas extrañas confirmaría que las condiciones del QGP fueron alcanzadas.



ELSEVIER

9 October 1997

PHYSICS LETTERS B

Physics Letters B 411 (1997) 225–229

## Strangeness enhancement – a potential signature for QGP phase

V.K. Tiwari, C.P. Singh

*Department of Physics, Banaras Hindu University, Varanasi 221 005, India*

Received 2 July 1997

Editor: L. Montanet



Instituto de  
Ciencias  
Nucleares  
UNAM



INTERNATIONAL  
MASTERCLASSES  
hands on particle physics

# ¿Cómo hallar evidencia de la existencia del QGP?: Partículas extrañas

- Sin embargo, no es posible detectar directamente partículas extrañas. Muchas son neutras (no son visibles a los PID).
- También tienen un tiempo de vida corta y decaen. Los decaimientos son bien conocidos.

$$K_s^0 \rightarrow \pi^+ + \pi^- ,$$

$$\Lambda \rightarrow p^+ + \pi^- ,$$

$$\bar{\Lambda} \rightarrow p^- + \pi^+ ,$$

$$\Xi^- \rightarrow \pi^- + \Lambda (\rightarrow p + \pi^-) .$$



# ¿Cómo hallar evidencia de la existencia del QGP?: Partículas extrañas

- Por ende, detectar a las partículas hijas de los decaimientos es una forma indirecta de detectar partículas extrañas.
- Eso es fácil porque los PID nos proporcionan la masa y energía de partículas con carga (como los piones  $\pi^\pm$  o el protón y antiproton  $p^\pm$ ).



# ¿Cómo hallar evidencia de la existencia del QGP?: Partículas extrañas

- Basta encontrar una expresión de la masa en reposo de la partícula extraña en términos de los parámetros conocidos de las partículas extrañas.
- Es posible demostrar que la masa en reposo  $m$  de la partícula extraña es

$$m^2 = m_1^2 + m_2^2 + 2E_1E_2 - 2\mathbf{p}_1\mathbf{p}_2,$$

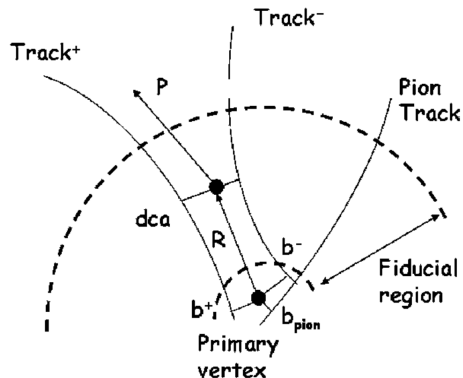
donde  $m_1$  y  $m_2$  son las masas de las V0's,  $p_1$  y  $p_2$  sus momentos y  $E_1$  y  $E_2$  sus energías.



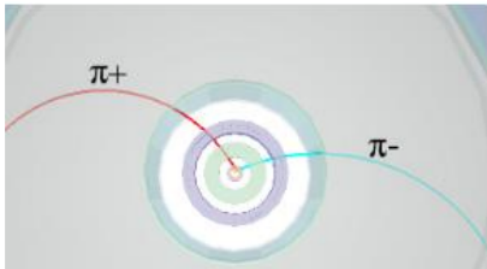
# Medición de la masa invariante de partículas extrañas

El momento de las partículas hijas se mide a partir del radio de curvatura  $R$  de los tracks de los decaimientos. Conocemos la carga  $q$  de los productos, y el campo magnético  $B$ . Esto permite usar la relación

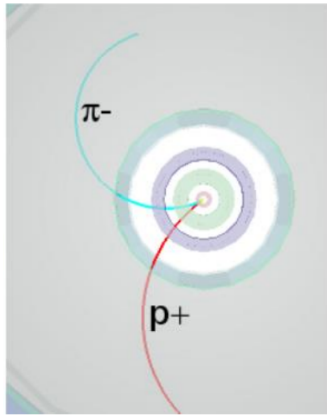
$$p = qBR.$$



# Búsqueda de extrañeza en ALICE



$$K_s^0 \rightarrow \pi^+ + \pi^-$$



$$\Lambda \rightarrow p^+ + \pi^-$$

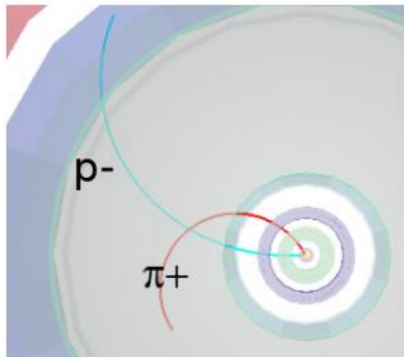


Instituto de  
Ciencias  
Nucleares  
UNAM

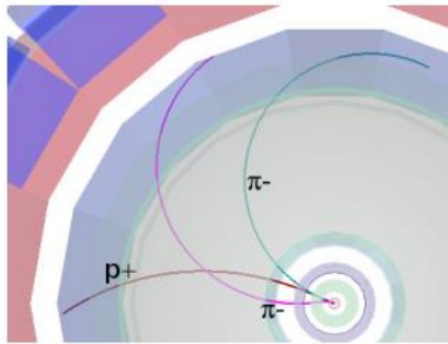


INTERNATIONAL  
MASTERCLASSES  
hands on particle physics

# Búsqueda de extrañeza en ALICE



$$\bar{\Lambda} \rightarrow p^- + \pi^+$$



$$\Xi^- \rightarrow \pi^- + \Lambda (\rightarrow p + \pi^-)$$



Instituto de  
Ciencias  
Nucleares  
UNAM

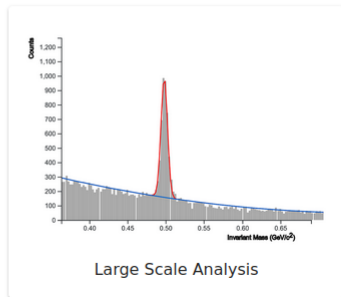
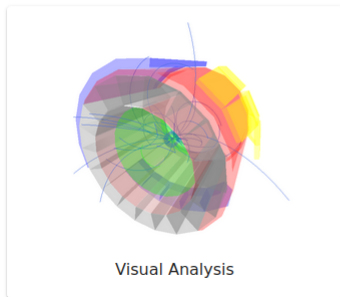


INTERNATIONAL  
MASTERCLASSES  
hands on particle physics

# ¡Manos a la obra!

Welcome to ALICE Masterclass!

Looking for strange particles



<https://masterclass.fizyka.pw.edu.pl>



Instituto de  
Ciencias  
Nucleares  
UNAM



# ¡Manos a la obra!: Análisis Visual

## Pasos a seguir:

- ① Seleccionar un set de datos que se indique.
- ② Activar la opción de "Decays" para poder encontrar los V0s.
- ③ Clasificar los V0s de acuerdo a la masa invariante obtenida.
- ④ Llenar los histogramas.

Please select dataset for Visual Analysis:

Dataset

Start Visual Analysis

Please select dataset for Visual Analysis:

Demo Dataset

Dataset 1

Dataset 2

Dataset 3

Dataset 4

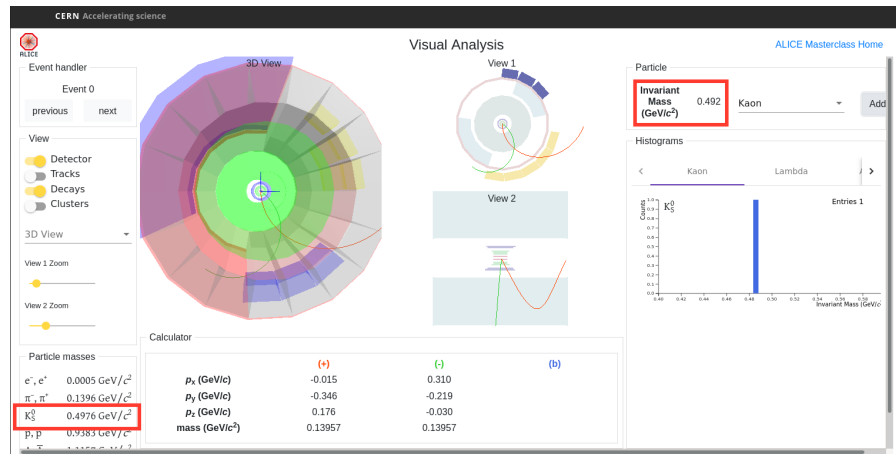


Instituto de  
Ciencias  
Nucleares  
UNAM



INTERNATIONAL  
MASTERCLASSES  
hands on particle physics

# ¡Manos a la obra!: Análisis Visual



Instituto de  
Ciencias  
Nucleares  
UNAM



INTERNATIONAL  
MASTERCLASSES  
hands on particle physics

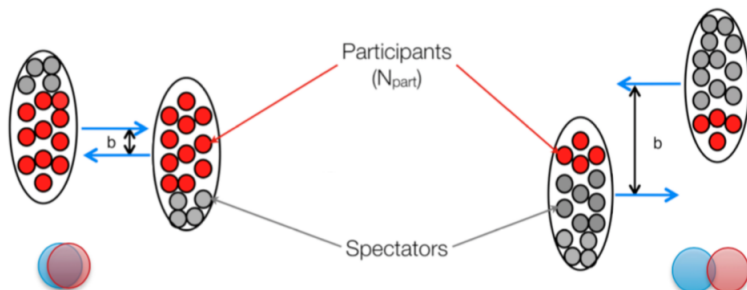
# Centralidad de una colisión

## Colisión central

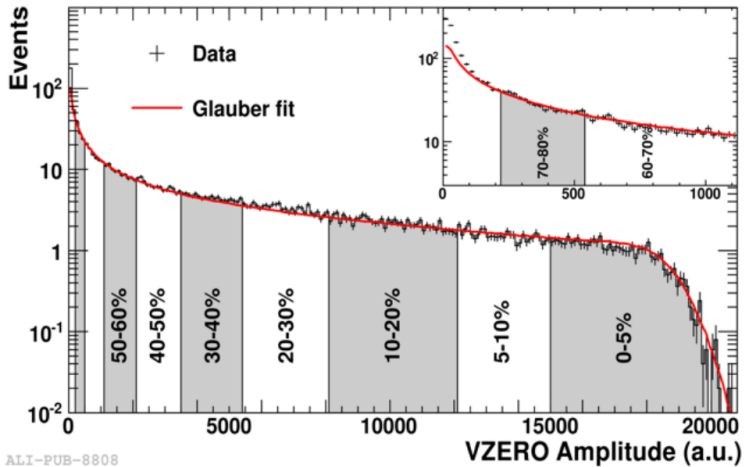
- **Menor** distancia entre los centros de los núcleos
- **Mayor** número de participantes

## Colisión periférica

- **Mayor** distancia entre los centros de los núcleos
- **Menor** número de participantes



## Centralidad de una colisión

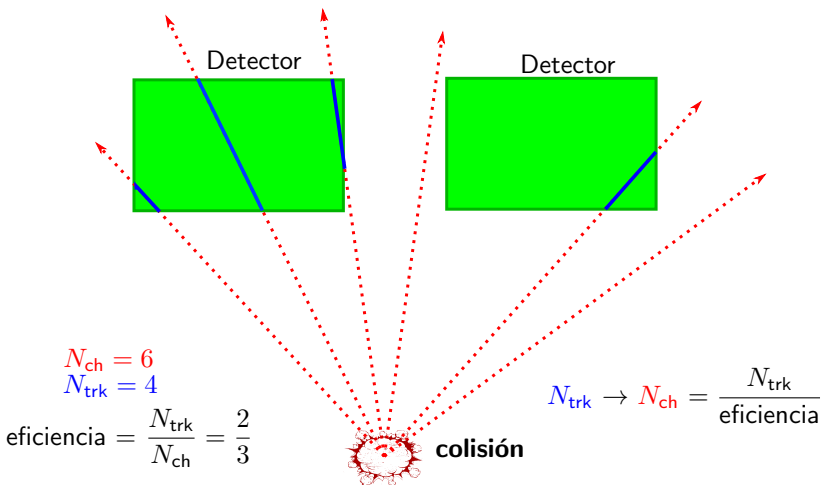


Instituto de  
Ciencias  
Nucleares  
UNAM



INTERNATIONAL  
MASTERCLASSES

# Rendimiento e Incremento de Extrañeza



# Rendimiento e Incremento de Extrañeza

- El rendimiento o yield lo definimos como:

$$\text{rendimiento} = \frac{N_{\text{ch}}}{N_{\text{events}}}.$$

- La eficiencia de un detector se obtiene con simulaciones Monte Carlo.
- Llamamos  $N_{\text{ch}}^{\text{MC}}$  y  $N_{\text{trk}}^{\text{MC}}$  a las partículas producidas y medidas en la simulación Monte Carlo.
- La eficiencia se calcula como:

$$\text{eficiencia} = \frac{N_{\text{trk}}^{\text{MC}}}{N_{\text{ch}}^{\text{MC}}}.$$



# Rendimiento e Incremento de Extrañeza

- Llaremos  $N_{\text{ch}}^{\text{datos}}$  y  $N_{\text{trk}}^{\text{datos}}$  a las partículas producidas y medidas en el experimento.
- El número de partículas producidas en el experimento es

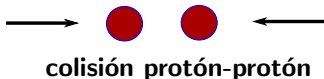
$$N_{\text{ch}}^{\text{datos}} = \frac{N_{\text{trk}}^{\text{datos}}}{\text{eficiencia}}$$

- Por tanto, podemos definir el rendimiento como

$$\text{yield (rendimiento)} = \frac{N_{\text{ch}}^{\text{datos}}}{N_{\text{events}}} = \frac{N_{\text{trk}}^{\text{datos}}}{\boxed{\text{eficiencia} \times N_{\text{events}}}}$$

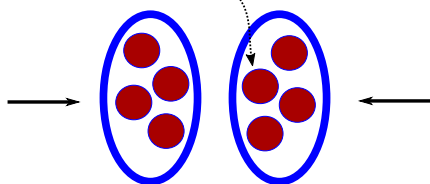


# Rendimiento e Incremento de Extrañeza



$$\text{yield por protón} = \frac{\text{yield}}{2}$$

nucleones  $N_{\text{nucleones}}$



$$\text{yield por nucleón} = \frac{\text{yield}}{N_{\text{nucleones}}}$$

strangeness enhancement =  $\frac{\text{yield en colisiones ión-ión}}{\frac{N_{\text{nucleones}}}{2} \text{yield en colisiones pp}}$



Instituto de  
Ciencias  
Nucleares  
UNAM



# ¡Manos a la obra!: Análisis a Gran Escala

ALICE

Navigation

Particle Type  
Kaon

Collision & Centrality  
pp

Plot Invariant mass

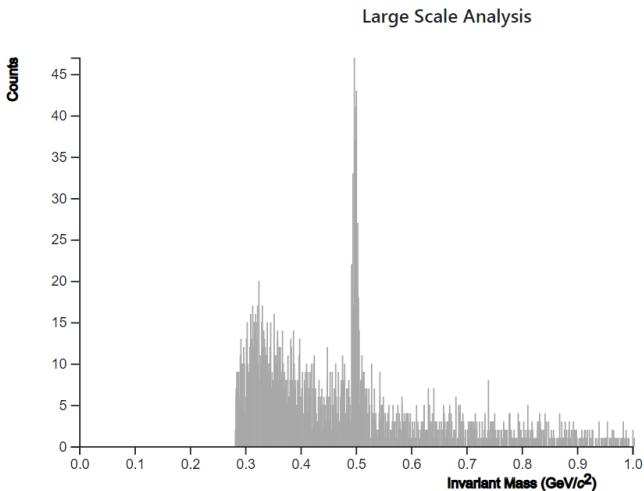
Fit

Signal range  
0 2

Background range  
0 2

Fit

Accept



Instituto de  
Ciencias  
Nucleares  
UNAM

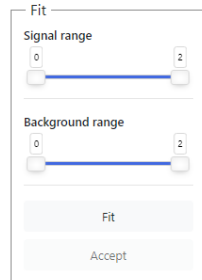
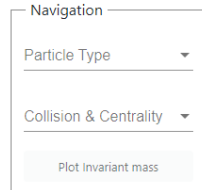


INTERNATIONAL  
MASTERCLASSES  
hands on particle physics

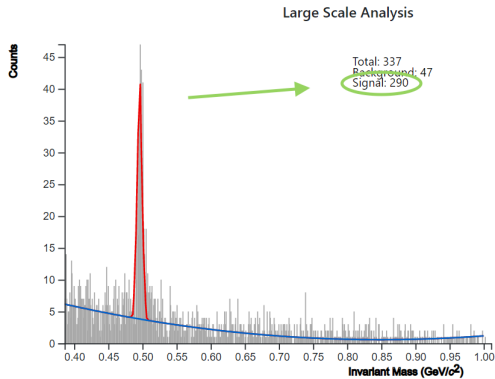
# ¡Manos a la obra!: Análisis a Gran Escala

## Pasos a seguir:

- ① Seleccionar el tipo de partícula (Kaon/Lambda/Anti-Lambda).
- ② Seleccionar el tipo de partícula y centralidad de la colisión.
- ③ Encontrar los rangos de señal y fondo que mejor ajusten el pico y el fondo.
- ④ La señal es el número de partículas producidas, anótala.



# ¡Manos a la obra!: Análisis a Gran Escala

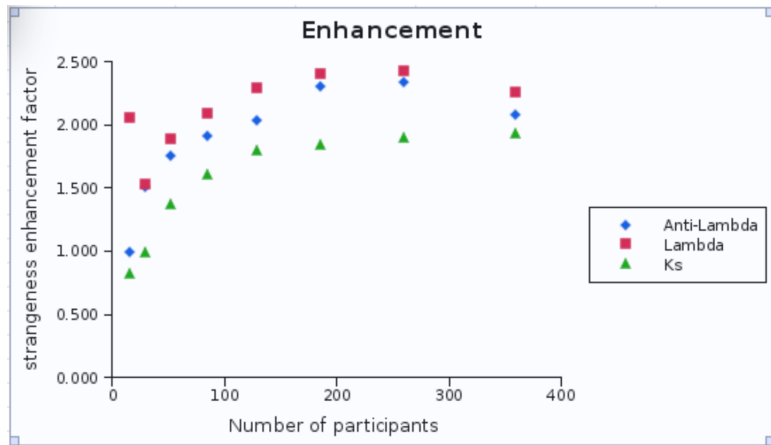


Señal:Curva roja

Fondo:Curva azul



# Resultados esperados



Instituto de  
Ciencias  
Nucleares  
UNAM



INTERNATIONAL  
MASTERCLASSES  
hands on particle physics

# Algunos datos

Partícula	Background	Signal
$K_s^0$	0.4-0.6	0.45-0.54
$\Lambda \bar{\Lambda}$	1.08-1.15	1.11-1.13

Tabla: Rangos sugeridos para la clasificación.



# BackUp



Instituto de  
Ciencias  
Nucleares  
UNAM



# ¿Qué detectores usamos en ALICE?

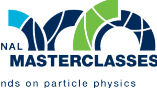
- Para esta práctica se emplean los **detectores de identificación de partículas** (PID, particle identification detectors).
- Los PID detectan partículas a partir de su **carga eléctrica y su interacción con el medio**.
- Permiten conocer la masa y energía de las partículas.
- Principalmente se usan la TPC (Time Projection Chamber), el detector V0+ y el detector TOF (Time of Flight).



Instituto de  
Ciencias  
Nucleares  
UNAM



INTERNATIONAL



# Masa invariante de partículas extrañas

Supongamos que una partícula extraña de masa  $m$  decae en dos partículas de masa  $m_1$  y  $m_2$ . Por conservación de energía y momento, se cumple

$$E = E_1 + E_2,$$

$$\mathbf{p} = \mathbf{p}_1 + \mathbf{p}_2.$$

De la relatividad (con  $c = 1$ )

$$E^2 = m^2 + p^2,$$

$$E_1^2 = m_1^2 + p_1^2,$$

$$E_2^2 = m_2^2 + p_2^2.$$

Por tanto

$$\begin{aligned}m^2 &= E^2 - p^2 \\&= (E_1 + E_2)^2 - (\mathbf{p}_1 + \mathbf{p}_2)^2 \\&= E_1^2 + E_2^2 \\&\quad + 2E_1E_2 - p_1^2 - p_2^2 - 2\mathbf{p}_1\mathbf{p}_2\end{aligned}$$

Sustituyendo las relaciones relativistas llegamos a

$$m^2 = m_1^2 + m_2^2 + 2E_1E_2 - 2\mathbf{p}_1\mathbf{p}_2.$$



# Preguntas de referencia

- ¿Por qué las trazas de las partículas V0 (las partículas resultantes de los decaimientos de las partículas extrañas) se curvan en direcciones opuestas?

Porque los productos del decaimiento de la partícula neutra, son partículas con cargas de signos contrarios (por conservación de la carga), que se mueven en un campo magnético.



# Preguntas de referencia

- ¿Por qué el radio en la curvatura de la traza del protón es mayor que la del pion en los decaimientos de las partículas  $\Lambda$  y  $\bar{\Lambda}$ ?

Porque el protón tiene más masa que los piones.



# Preguntas de referencia

- ¿Por qué ocurre lo anterior?

Recordemos que el momento  $p$  es el producto de la masa por la velocidad  $mv$ . Vimos que la relación entre el momento, el campo magnético  $B$  y el radio de curvatura  $R$  es

$$p = qBR.$$

Claramente, si aumenta  $p$ , consecuentemente tiene que aumentar  $R$  porque el campo magnético  $B$  es el mismo para ambas V0's.



Instituto de  
Ciencias  
Nucleares  
UNAM



INTERNATIONAL  
MASTERCLASSES



# Preguntas de referencia

- ¿Por qué no observamos a las  $\Lambda$ 's o al  $K_s^0$  después de que decaen?

Por qué el mesón  $K_s^0$  y los bariones  $\Lambda$  y  $\bar{\Lambda}$  son partículas neutras, es decir, son invisibles para los detectores de identificación de partículas. Estos detectores solo ven partículas con carga, ya que estas interactúan con un medio. Por ejemplo, con un gas. Al interactuar la partícula con el medio, esta ioniza al gas (le arranca electrones) y produce una señal eléctrica.



# Preguntas de referencia

- ¿Por qué la partícula  $\Lambda$  no decae en 2 piones como el  $K_s^0$ ?

Porque  $\Lambda$  es un barión, lo que significa que está formado por 3 quarks ( $qqq$ ), mientras que el  $K_s^0$  es un mesón, y por lo tanto está formado por un quark y un antiquark ( $q\bar{q}$ ). En todas las interacciones, el número de bariones se conserva, por lo que en el decaimiento de  $\Lambda$  hay un barión, que es el protón.



# Preguntas de referencia

- ¿Por qué la distribución de masas de las partículas extrañas tiene un ancho en el pico?

El cálculo de la masa invariante depende de la precisión de los instrumentos usados para hacer la medición. Esto implica que los resultados no siempre caen en un punto, sino alrededor del mismo (en el histograma, se distribuyen alrededor de un pico).

